

УДК 539.311

## ЗАДАЧА О РАВНОВЕСИИ ПЛАСТИНЫ ТИМОШЕНКО С НАКЛОННОЙ ТРЕЩИНОЙ

Н. П. Лазарев

Научно-исследовательский институт математики Северо-Восточного федерального университета им. М. К. Аммосова, 677000 Якутск  
Институт гидродинамики им. М. А. Лаврентьева СО РАН, 630090 Новосибирск  
E-mail: nyurgun@ngs.ru

Для пластины Тимошенко с наклонной трещиной, в исходном состоянии задаваемой поверхностью, нормаль к которой образует малый угол со срединной плоскостью, предложено условие взаимного непроникания берегов трещины. Доказана однозначная разрешимость вариационной задачи о равновесии пластины с условиями непроникания берегов трещины, задаваемыми на кривой, описывающей трещину. Сформулирована дифференциальная постановка задачи, эквивалентная исходной постановке при достаточной гладкости решения. Для одномерного случая (балка с разрезом) получено аналитическое решение и изучены случаи продольного растяжения и сжатия.

**Ключевые слова:** пластина, трещина, разрез, условие непроникания, вариационная задача.

**Введение.** Изучению пластин и оболочек, содержащих трещины, посвящено большое количество работ (см., например, [1–11]). При этом, как правило, рассматриваются вертикальные трещины, задаваемые поверхностями, нормали к которым (в каждой точке поверхности) параллельны срединной плоскости пластины. Как известно, в классическом подходе к моделированию трещин в деформируемых телах используются линейные краевые условия в виде равенств, которые формулируются на кривой, описывающей трещину [1–3]. Заметим, что этот подход допускает возможность взаимного проникания берегов трещины [4]. С помощью вариационных методов изучен широкий класс задач математической теории трещин с нелинейными условиями непроникания (в виде системы равенств и неравенств), заданными на кривой (поверхности), описывающей трещину в упругих телах [6–12].

В работах [7, 8] исследованы нелинейные задачи о равновесии пластин Кирхгофа — Лява при условии взаимного непроникания берегов наклонной трещины. При этом в [7] условие непроникания приведено для трещин, задаваемых гладкой поверхностью  $z = F(x_1, x_2)$ , где  $F(x_1, x_2)$  — функция, определенная в срединной плоскости  $(x_1, x_2)$ . В [8] выведено условие непроникания для трещины, положение которой незначительно отличается от вертикального положения. Кроме того, в [7, 8] используются дополнительные (для модели Кирхгофа — Лява) предположения о том, что перемещения всех точек берегов

---

Работа выполнена при финансовой поддержке Министерства образования и науки РФ (соглашение № 8222) и в рамках государственного задания на выполнение научно-исследовательской работы на 2012–2014 гг. (проект № 4402).

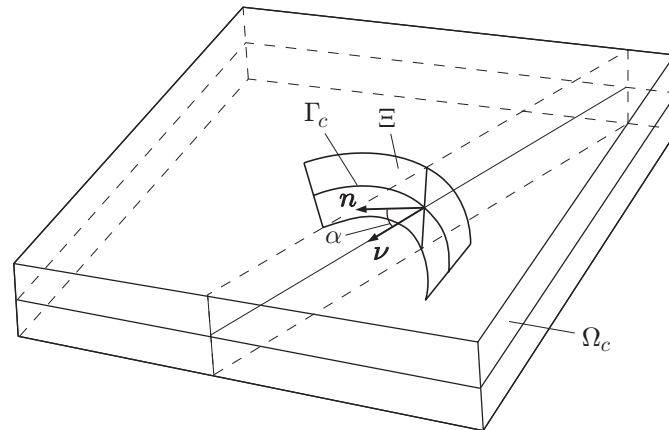


Рис. 1. Схема пластины с наклонной трещиной

трещины можно задать с помощью перемещений точек, лежащих на срединной плоскости пластины.

В настоящей работе, так же как и в [8], условие взаимного непроникания берегов трещины выводится в предположении о том, что нормаль к поверхности трещины образует малый угол со срединной плоскостью. Вариационная задача о равновесии пластины формулируется в виде задачи минимизации функционала энергии на множестве допустимых функций, которые удовлетворяют условию непроникания. Доказана однозначная разрешимость задачи.

**1. Постановка задачи.** Пусть  $\Omega \subset \mathbb{R}^2$  — ограниченная односвязная область с гладкой границей  $\partial\Omega$ ,  $\Gamma_c$  — гладкая кривая без самопересечений, такая что  $\bar{\Gamma}_c \subset \Omega$ ,  $\partial\Gamma_c \notin \Gamma_c$ . Обозначим через  $\boldsymbol{\nu} = \boldsymbol{\nu}(\mathbf{x}) = (\nu_1, \nu_2)$  вектор нормали к  $\Gamma_c$ ,  $\mathbf{x} = (x_1, x_2) \in \Gamma_c$ . Как и в работе [8], зададим поверхность

$$\Xi = \{(\bar{x}_1, \bar{x}_2, z) : |z| \leq h, (\bar{x}_1, \bar{x}_2) = \bar{\mathbf{x}}, \bar{\mathbf{x}} = \mathbf{x} - z\boldsymbol{\nu}(\mathbf{x}) \operatorname{tg} \alpha(\mathbf{x}), \mathbf{x} \in \Gamma_c\},$$

где  $\alpha(\mathbf{x})$ ,  $\mathbf{x} \in \Gamma_c$  — функция двух переменных, причем  $|\alpha(\mathbf{x})| < \pi/2$  (рис. 1). Предположим, что при фиксированном значении  $\mathbf{x} \in \Gamma_c$  нормаль  $\mathbf{n}(\bar{\mathbf{x}}, z)$  к поверхности  $\Xi$  остается неизменной:

$$\mathbf{n}(\bar{\mathbf{x}}, z) = \mathbf{n}(\mathbf{x}, 0) = (\boldsymbol{\nu}(\mathbf{x}) \cos \alpha(\mathbf{x}), \sin \alpha(\mathbf{x})) \quad \forall \bar{\mathbf{x}} = \mathbf{x} - z\boldsymbol{\nu}(\mathbf{x}) \operatorname{tg} \alpha(\mathbf{x}), \quad |z| \leq h.$$

Заметим, что этим свойством обладают, например, поверхности  $\Xi$ , образованные при пересечении плоскости или конической поверхности с множеством  $\Omega \times [-h, h]$ .

Предположим, что в исходном недеформированном состоянии пластина, содержащая наклонную трещину, задается в трехмерном пространстве  $\mathbb{R}^3$  множеством  $\Omega \times [-h, h] \setminus \Xi$ . При этом поверхность  $\Xi$  соответствует трещине (разрезу) нулевой ширины. В срединной плоскости  $z = 0$  имеется негладкая область  $\Omega_c = \Omega \setminus \bar{\Gamma}_c$ . В соответствии с направлением нормали  $\boldsymbol{\nu}$  имеются положительные  $\Gamma_c^+$ ,  $\Xi^+$  и отрицательные  $\Gamma_c^-$ ,  $\Xi^-$  области кривой  $\Gamma_c$  и поверхности  $\Xi$ .

Обозначим через  $\boldsymbol{\chi} = \boldsymbol{\chi}(\mathbf{x}) = (\mathbf{W}, w)$ ,  $\mathbf{x} \in \Omega_c$  вектор перемещений точек срединной поверхности ( $\mathbf{W} = (w_1, w_2)$  и  $w$  — горизонтальные (вдоль плоскости  $(x_1, x_2)$ ) и вертикальные перемещения соответственно). Углы поворота поперечных сечений обозначим через  $\boldsymbol{\psi} = \boldsymbol{\psi}(\mathbf{x}) = (\psi_1, \psi_2)$ ,  $\mathbf{x} \in \Omega_c$ .

Приведем известные тензорные соотношения теории упругости, справедливые для упругих трансверсально-изотропных пластин [13]. Тензоры, описывающие деформацию

пластины, определяются по формулам

$$\varepsilon_{ij}(\boldsymbol{\psi}) = \frac{1}{2} \left( \frac{\partial \psi_i}{\partial x_j} + \frac{\partial \psi_j}{\partial x_i} \right), \quad \varepsilon_{ij}(\mathbf{W}) = \frac{1}{2} \left( \frac{\partial w_i}{\partial x_j} + \frac{\partial w_j}{\partial x_i} \right), \quad i, j = 1, 2.$$

Тензоры моментов и усилий вычисляются по формулам

$$m_{ij}(\boldsymbol{\psi}) = c_{ijkl} \varepsilon_{kl}(\boldsymbol{\psi}), \quad \sigma_{ij}(\mathbf{W}) = 3h^{-2} c_{ijkl} \varepsilon_{kl}(\mathbf{W}) \quad (1)$$

(по повторяющимся индексам проводится суммирование), где ненулевые постоянные коэффициенты тензора  $c_{ijkl}$  определяются соотношениями

$$c_{iii} = D, \quad c_{iijj} = D\kappa, \quad c_{ijij} = c_{ijji} = D(1 - \kappa)/2, \quad i, j = 1, 2, \quad i \neq j,$$

$D$  — цилиндрическая жесткость пластины;  $\kappa$  — коэффициент Пуассона. Для вектора поперечных сил  $\mathbf{q} = (q_1, q_2)$  выполняются равенства [13]

$$q_i(w, \boldsymbol{\psi}) = \Lambda(w_{,i} + \psi_i), \quad i = 1, 2 \quad \left( v_{,i} = \frac{\partial v}{\partial x_i} \right), \quad (1')$$

где  $\Lambda = 2k'G$ ;  $k'$  — коэффициент сдвига;  $G$  — модуль сдвига на площадках, перпендикулярных срединной плоскости пластины;  $\Lambda, k', G$  — постоянные.

Пусть  $H^1(\Omega_c)$  — пространство Соболева,  $H^{1,0}(\Omega_c)$  — его подпространство, состоящее из всех функций, которые обращаются в нуль на внешней границе  $\partial\Omega$ . Введем следующие обозначения:

$$H = H^{1,0}(\Omega_c)^5, \quad \|\cdot\| = \|\cdot\|_H.$$

Предположим, что  $\boldsymbol{\eta} = (\mathbf{W}, w, \boldsymbol{\psi}) \in H$ ,  $\bar{\boldsymbol{\eta}} = (\bar{\mathbf{W}}, \bar{w}, \bar{\boldsymbol{\psi}}) \in H$ . Определим билинейную форму функций  $\boldsymbol{\eta}, \bar{\boldsymbol{\eta}}$ :

$$B(\boldsymbol{\eta}, \bar{\boldsymbol{\eta}}) = \int_{\Omega_c} (\sigma_{ij}(\mathbf{W}) \varepsilon_{ij}(\bar{\mathbf{W}}) + m_{ij}(\boldsymbol{\psi}) \varepsilon_{ij}(\bar{\boldsymbol{\psi}}) + \Lambda(w_{,i} + \psi_i)(\bar{w}_{,i} + \bar{\psi}_i)).$$

Выражение для функционала потенциальной энергии деформированной пластины имеет вид

$$\Pi(\boldsymbol{\eta}) = \frac{1}{2} B(\boldsymbol{\eta}, \boldsymbol{\eta}) - \int_{\Omega_c} \mathbf{F}\boldsymbol{\eta} \quad \forall \boldsymbol{\eta} = (\mathbf{W}, w, \boldsymbol{\psi}) \in H,$$

где  $\mathbf{F} = (f_1, f_2, f_3, \mu_1, \mu_2) \in L^2(\Omega_c)^5$  — вектор заданных внешних нагрузок [13].

На внешней границе  $\partial\Omega$  зададим краевые условия жесткого защемления

$$\boldsymbol{\eta} = \mathbf{0} \quad \text{на} \quad \partial\Omega,$$

где  $\mathbf{0} = (0, 0, 0, 0, 0)$ ;  $\boldsymbol{\eta} = (\mathbf{W}, w, \boldsymbol{\psi})$ .

Как известно, в модели Тимошенко перемещения  $\boldsymbol{\chi}(\mathbf{x}, z) = (\mathbf{W}(\mathbf{x}, z), w(\mathbf{x}, z))$  для точек оболочки, находящихся на расстоянии  $|z| \leq h$  от срединной поверхности, выражаются через перемещения в срединной поверхности  $\boldsymbol{\chi}(\mathbf{x}, 0) = \boldsymbol{\chi}(\mathbf{x}) = (\mathbf{W}, w)$  и углы поворота нормальных сечений  $\boldsymbol{\psi} = \boldsymbol{\psi}(\mathbf{x})$ . При этом справедливы следующие формулы [13]:

$$\mathbf{W}(\mathbf{x}, z) = \mathbf{W}(\mathbf{x}) + z\boldsymbol{\psi}(\mathbf{x}), \quad w(\mathbf{x}, z) = w(\mathbf{x}), \quad |z| \leq h, \quad \mathbf{x} \in \Omega_c.$$

Выведем условие непроникания с помощью предположений и рассуждений, аналогичных использованным в работе [8]. Пусть угол  $\alpha(\mathbf{x})$  достаточно мал при всех  $\mathbf{x} \in \Gamma_c$ . Предположим, что перемещения в точках  $(\bar{\mathbf{x}}, z) \in \Xi^\pm$  (на берегах трещины) можно выразить с помощью следов функций  $\mathbf{W}(\mathbf{x}), w(\mathbf{x}), \boldsymbol{\psi}(\mathbf{x})$  на кривой  $\Gamma_c$  в виде равенств

$$w^\pm(\bar{\mathbf{x}}, z) = w^\pm(\mathbf{x}), \quad \mathbf{W}^\pm(\bar{\mathbf{x}}, z) = \mathbf{W}^\pm(\mathbf{x}) + z\boldsymbol{\psi}^\pm(\mathbf{x}), \quad |z| \leq h, \quad \mathbf{x} \in \Gamma_c, \quad (2)$$

где  $\bar{\mathbf{x}} = \mathbf{x} - z\nu(\mathbf{x}) \operatorname{tg} \alpha(\mathbf{x})$ .

Условие непроникания берегов трещины заключается в том, что разность перемещений  $\chi(\bar{x}, z)^+$  на положительном берегу  $\Xi^+$  и  $\chi(\bar{x}, z)^-$  на отрицательном берегу  $\Xi^-$  в проекции на нормаль  $\mathbf{n}(\bar{x}, z)$  должна быть неотрицательной:

$$(\chi(\bar{x}, z)^+ - \chi(\bar{x}, z)^-) \cdot (\boldsymbol{\nu}(\mathbf{x}) \cos \alpha(\mathbf{x}), \sin \alpha(\mathbf{x})) \geq 0, \quad (\bar{x}, z) \in \Xi.$$

С учетом (2), подставляя экстремальные значения  $z = h, z = -h$ , находим

$$[\mathbf{W}_\nu] \cos \alpha - h|\boldsymbol{\psi}_\nu| \cos \alpha + [w] \sin \alpha \geq 0, \quad \mathbf{x} \in \Gamma_c,$$

где  $\boldsymbol{\psi}_\nu = \psi_i \nu_i$ ;  $\mathbf{W}_\nu = w_i \nu_i$ ;  $[v] = v|_{\Gamma_c^+} - v|_{\Gamma_c^-}$ . Разделив последнее соотношение на  $\cos \alpha$ , выведем условие непроникания для наклонной трещины

$$[\mathbf{W}_\nu] + [w] \operatorname{tg} \alpha \geq h|\boldsymbol{\psi}_\nu|, \quad \mathbf{x} \in \Gamma_c. \quad (3)$$

Заметим, что при  $\alpha \equiv 0$  неравенство (3) переходит в известное условие непроникания для вертикальных трещин, содержащихся в пластинах Тимошенко [10]. Если для углов поворота вблизи трещины выполняются соотношения гипотезы прямых нормалей Кирхгофа — Лява  $\psi_i + w_{,i} = 0, i = 1, 2$ , то (3) принимает вид условия непроникания для наклонной трещины в пластине Кирхгофа — Лява [8].

Задачу о равновесии пластины, содержащей наклонную трещину, сформулируем в виде минимизации функционала энергии

$$\inf_{\boldsymbol{\eta} \in K} \Pi(\boldsymbol{\eta}), \quad (4)$$

где  $K = \{\boldsymbol{\eta} \in H: \boldsymbol{\eta} = (\mathbf{W}, w, \boldsymbol{\psi})\}$  — множество допустимых функций, таких что  $\boldsymbol{\eta} = (\mathbf{W}, w, \boldsymbol{\psi})$  удовлетворяет (3). Функционал  $\Pi(\boldsymbol{\eta})$  является коэрцитивным, выпуклым и слабополунепрерывным снизу в пространстве  $H$  [10]. Кроме того, функционал  $\Pi(\boldsymbol{\eta})$  дифференцируем. Можно показать, что множество  $K$  является выпуклым, замкнутым и, следовательно, слабозамкнутым в пространстве  $H$ . Указанные свойства функционала  $\Pi(\boldsymbol{\eta})$  и множества  $K$  гарантируют существование и единственность решения  $\boldsymbol{\xi} = (\mathbf{U}, u, \boldsymbol{\varphi})$ , удовлетворяющего вариационному неравенству [10]

$$\boldsymbol{\xi} \in K, \quad B(\boldsymbol{\xi}, \boldsymbol{\eta} - \boldsymbol{\xi}) \geq \int_{\Omega_c} \mathbf{F}(\boldsymbol{\eta} - \boldsymbol{\xi}) \quad \forall \boldsymbol{\eta} \in K. \quad (5)$$

**2. Формулировка краевой задачи.** В данном пункте приводится эквивалентная дифференциальная постановка задачи (4). Используя вариационное неравенство (5) и выбирая пробные функции, выведем краевые условия на кривой  $\Gamma_c$ . При этом будем использовать формулы Грина. Так же как и в [9], предположим, что кривая  $\Gamma_c$  может быть продолжена до замкнутой достаточно гладкой кривой  $\Sigma$ , делящей область  $\Omega$  на две подобласти  $\Omega_1$  и  $\Omega_2$  ( $\bar{\Omega} = \bar{\Omega}_1 \cup \bar{\Omega}_2$ ) с гладкими границами  $\partial\Omega_1 = \Sigma, \partial\Omega_2 = \Sigma \cup \partial\Omega$ . Заметим, что кривая  $\Sigma$  может быть выбрана произвольно с точностью до наложенных на нее ограничений. Предположим, что решение  $\boldsymbol{\xi}$  задачи (4) является достаточно гладким.

В результате сравнения двух неравенств, полученных при подстановке в (5) пробных функций  $\boldsymbol{\eta} = \boldsymbol{\xi} + \tilde{\boldsymbol{\eta}}$  и  $\boldsymbol{\eta} = \boldsymbol{\xi} - \tilde{\boldsymbol{\eta}}$ , где  $\tilde{\boldsymbol{\eta}} = (\tilde{\mathbf{W}}, \tilde{w}, \tilde{\boldsymbol{\psi}}) \in C_0^\infty(\Omega_\gamma)^5$ , имеем равенство

$$\int_{\Omega_\gamma} (\sigma_{ij} \varepsilon_{ij}(\tilde{\mathbf{W}}) + m_{ij} \varepsilon_{ij}(\tilde{\boldsymbol{\psi}}) + q_i(\tilde{w}_{,i} + \tilde{\psi}_i)) = \int_{\Omega_\gamma} (f_i \tilde{w}_i + f_3 \tilde{w} + \mu_i \tilde{\psi}_i) \quad \forall \tilde{\boldsymbol{\eta}} \in C_0^\infty(\Omega_\gamma)^5.$$

Здесь  $m_{ij} = m_{ij}(\boldsymbol{\varphi}), \sigma_{ij} = \sigma_{ij}(\mathbf{U}), q_i = q_i(u, \boldsymbol{\varphi}), i, j = 1, 2$ . С учетом независимости функций  $\tilde{w}_1, \tilde{w}_2, \tilde{w}, \tilde{\psi}_1, \tilde{\psi}_2$  из этого равенства следуют уравнения равновесия

$$\sigma_{ij,j} = -f_i, \quad m_{ij,j} - q_i = -\mu_i, \quad i = 1, 2, \quad q_{i,i} = -f_3 \quad \text{в } \Omega_c. \quad (6)$$

В силу предположений о возможности продолжения кривой  $\Gamma_c$  до замкнутой кривой  $\Sigma$  справедлива формула Грина [9]

$$\int_{\Omega_c} \sigma_{ij} \varepsilon_{ij}(\mathbf{W}) = - \int_{\Omega_c} \sigma_{ij,j} w_i - \left[ \int_{\Gamma_c} (\sigma_{\nu} \mathbf{W}_{\nu} + \sigma_{\tau i} w_{\tau i}) \right] \quad \forall \mathbf{W} \in H^{1,0}(\Omega_c)^2, \quad (7)$$

где  $\sigma_{\nu}$  и  $\sigma_{\tau} = (\sigma_{\tau 1}, \sigma_{\tau 2})$  — нормальная и касательная составляющие вектора  $(\sigma_{1j} \nu_j, \sigma_{2j} \nu_j)$ ;  $\sigma_{ij} \nu_j = \sigma_{\nu} \nu_i + \sigma_{\tau i}$ ,  $\sigma_{\nu} = \sigma_{ij} \nu_j \nu_i$ ,  $\tau = (-\nu_2, \nu_1)$ ,  $w_{\tau i} = w_i - \mathbf{W}_{\nu} \nu_i$ ,  $i = 1, 2$ . Справедливы также формулы (см. [9])

$$\int_{\Omega_c} m_{ij} \varepsilon_{ij}(\boldsymbol{\psi}) = - \int_{\Omega_c} m_{ij,j} \psi_i - \left[ \int_{\Gamma_c} (m_{\nu} \boldsymbol{\psi}_{\nu} + m_{\tau i} \psi_{\tau i}) \right] \quad \forall \boldsymbol{\psi} \in H^{1,0}(\Omega_c)^2,$$

$$\int_{\Omega_c} \nabla u \nabla w = - \left[ \int_{\Gamma_c} \frac{\partial u}{\partial \boldsymbol{\nu}} w \right] - \int_{\Omega_c} w \Delta u \quad \forall w \in H^{1,0}(\Omega_c), \quad (8)$$

$$\int_{\Omega_c} \boldsymbol{\varphi} \nabla w = - \left[ \int_{\Gamma_c} \boldsymbol{\varphi}_{\nu} w \right] - \int_{\Omega_c} w \operatorname{div} \boldsymbol{\varphi} \quad \forall w \in H^{1,0}(\Omega_c),$$

где величины  $m_{\nu}$ ,  $m_{\tau i}$ ,  $i = 1, 2$  определяются по формулам, аналогичным формулам для  $\sigma_{\nu}$ ,  $\sigma_{\tau i}$ ,  $i = 1, 2$  (см. (7)).

Подставляя в (5)  $\boldsymbol{\eta} = \mathbf{0}$ ,  $\boldsymbol{\eta} = 2\xi$ , получаем соотношения

$$B(\xi, \xi) = \int_{\Omega_c} \mathbf{F} \xi, \quad B(\xi, \boldsymbol{\eta}) \geq \int_{\Omega_c} \mathbf{F} \boldsymbol{\eta} \quad \forall \boldsymbol{\eta} \in K. \quad (9)$$

Подставляя во второе соотношение (9) формулы интегрирования по частям (7), (8), с учетом уравнений равновесия (6) находим

$$- \int_{\Gamma_c} \left[ (\sigma_{\nu} \mathbf{W}_{\nu} + \sigma_{\tau i} w_{\tau i}) + (m_{\nu} \boldsymbol{\psi}_{\nu} + m_{\tau i} \psi_{\tau i}) + \Lambda \left( \frac{\partial u}{\partial \boldsymbol{\nu}} + \boldsymbol{\varphi}_{\nu} \right) w \right] \geq 0 \quad \forall \boldsymbol{\eta} \in K. \quad (10)$$

Выбирая в (10) пробные функции  $\boldsymbol{\eta} = (\mathbf{W}, w, \boldsymbol{\psi}) \in H_0^1(\Omega)^5$ , для которых  $[\boldsymbol{\eta}] = \mathbf{0}$  на  $\Gamma_c$ , с учетом независимости функций  $\mathbf{W}_{\nu}$ ,  $\boldsymbol{\psi}_{\nu}$ ,  $w$ ,  $w_{\tau 1}$ ,  $w_{\tau 2}$ ,  $\psi_{\tau 1}$ ,  $\psi_{\tau 2}$  получаем

$$[\sigma_{\nu}] = [m_{\nu}] = \left[ \frac{\partial u}{\partial \boldsymbol{\nu}} + \boldsymbol{\varphi}_{\nu} \right] = 0, \quad [\sigma_{\tau i}] = [m_{\tau i}] = 0, \quad i = 1, 2 \quad \text{на } \Gamma_c.$$

Значит, неравенство (10) можно записать в виде

$$\int_{\Gamma_c} \left( (\sigma_{\nu} [\mathbf{W}_{\nu}] + \sigma_{\tau i} [w_{\tau i}]) + (m_{\nu} [\boldsymbol{\psi}_{\nu}] + m_{\tau i} [\psi_{\tau i}]) + \mathbf{q}_{\nu} [w] \right) \leq 0 \quad \forall \boldsymbol{\eta} \in K, \quad (11)$$

где  $\mathbf{q}_{\nu} = \Lambda (\partial u / \partial \boldsymbol{\nu} + \boldsymbol{\varphi}_{\nu})$ . Пусть тестовые функции имеют такой вид, что  $\mathbf{W}_{\nu} = 0$ ,  $\boldsymbol{\psi}_{\nu} = 0$ ,  $w = 0$  на  $\Gamma_c$ . Тогда, варьируя в (11) значения  $[w_{\tau i}]$ ,  $[\psi_{\tau i}]$ ,  $i = 1, 2$ , получаем

$$\sigma_{\tau i} = m_{\tau i} = 0, \quad i = 1, 2 \quad \text{на } \Gamma_c. \quad (12)$$

Введем обозначение для вспомогательной вектор-функции  $\mathbf{p} = (p_1, p_2, p_3)$ , состоящей из достаточно гладких функций  $p_i$ ,  $i = 1, 2, 3$ , определенных на кривой  $\Gamma_c$ , при этом  $\operatorname{supp} p_i \subset \Gamma_c$ ,  $i = 1, 2, 3$ . Как известно, существует функция  $\tilde{\boldsymbol{\eta}} \in H(\Omega_c)$ , такая что (см., например, [6])

$$(p_1 \nu_1, p_1 \nu_2) = [\tilde{\mathbf{W}}], \quad p_2 = [\tilde{w}], \quad (p_3 \nu_1, p_3 \nu_2) = [\tilde{\boldsymbol{\psi}}] \quad \text{на } \Gamma_c. \quad (13)$$

При этом на кривой  $\Gamma_c$  выполнены равенства  $[\tilde{\mathbf{W}}_{\nu}] = p_1$ ,  $[\tilde{\boldsymbol{\psi}}_{\nu}] = p_3$ .

Таким образом, при условии выполнения соотношения  $p_1 + p_2 \operatorname{tg} \alpha \geq h|p_3|$  на  $\Gamma_c$ , подставляя в (11) функцию  $\tilde{\eta} \in H(\Omega_c)$ , удовлетворяющую (13), с учетом (12) получаем

$$\int_{\Gamma_c} (\sigma_\nu p_1 + m_\nu p_3 + \mathbf{q}_\nu p_2) \leq 0. \quad (14)$$

Рассмотрим следующее представление:

$$\begin{aligned} \sigma_\nu p_1 + m_\nu p_3 + \mathbf{q}_\nu p_2 &= \frac{1}{2} \left( \sigma_\nu + \frac{1}{h} m_\nu \right) (p_1 + p_2 \operatorname{tg} \alpha + hp_3) + \\ &+ \frac{1}{2} \left( \sigma_\nu - \frac{1}{h} m_\nu \right) (p_1 + p_2 \operatorname{tg} \alpha - hp_3) + (-\sigma_\nu \operatorname{tg} \alpha + \mathbf{q}_\nu) p_2. \end{aligned} \quad (15)$$

Выбирая функции  $p_1, p_2, p_3$ , удовлетворяющие равенствам  $p_1 = -p_2 \operatorname{tg} \alpha, p_3 = 0$ , из (14) с учетом (15) находим

$$\sigma_\nu \operatorname{tg} \alpha = \mathbf{q}_\nu \quad \text{на } \Gamma_c. \quad (16)$$

С помощью (15), (16) преобразуем (14) к виду

$$\int_{\Gamma_c} \left( \left( \sigma_\nu + \frac{1}{h} m_\nu \right) (p_1 + p_2 \operatorname{tg} \alpha + hp_3) + \left( \sigma_\nu - \frac{1}{h} m_\nu \right) (p_1 + p_2 \operatorname{tg} \alpha - hp_3) \right) \leq 0 \quad (17)$$

при условии, что функции  $p_i, i = 1, 2, 3$  удовлетворяют неравенству  $p_1 + p_2 \operatorname{tg} \alpha \geq h|p_3|$  на  $\Gamma_c$ . Из (17) следует, что на кривой  $\Gamma_c$  справедливы соотношения  $-h\sigma_\nu - m_\nu \geq 0, -h\sigma_\nu + m_\nu \geq 0$  или  $-h\sigma_\nu \geq |m_\nu|$ . Интегрируя первое соотношение (9) по частям, с учетом (12), (16) находим

$$\int_{\Gamma_c} \left( \left( \sigma_\nu + \frac{1}{h} m_\nu \right) ([\mathbf{U}_\nu] + [u] \operatorname{tg} \alpha + h[\varphi_\nu]) + \left( -\sigma_\nu + \frac{1}{h} m_\nu \right) ([\mathbf{U}_\nu] + [u] \operatorname{tg} \alpha - h[\varphi_\nu]) \right) = 0.$$

Следовательно, на кривой  $\Gamma_c$  выполняются равенства

$$(h\sigma_\nu + m_\nu)([\mathbf{U}_\nu] + [u] \operatorname{tg} \alpha + h[\varphi_\nu]) = (m_\nu - h\sigma_\nu)([\mathbf{U}_\nu] + [u] \operatorname{tg} \alpha - h[\varphi_\nu]) = 0.$$

Таким образом, доказана

**Теорема 1.** Пусть решение  $\xi = (\mathbf{U}, u, \varphi)$  вариационной задачи (4) является достаточно гладким. Тогда  $\xi = (\mathbf{U}, u, \varphi)$  также является решением для краевой задачи, состоящей из соотношений (1), (1'), уравнений (6) и краевых условий

$$\begin{aligned} \mathbf{U} = \varphi &= (0, 0), \quad u = 0 \quad \text{на } \partial\Omega; \\ [\sigma_\nu] = [m_\nu] &= 0, \quad [\sigma_\tau] = [m_\tau] = (0, 0), \quad \sigma_\nu \operatorname{tg} \alpha = \mathbf{q}_\nu \quad \text{на } \Gamma_c, \\ \sigma_\tau = m_\tau &= (0, 0), \quad [\mathbf{U}_\nu] + [u] \operatorname{tg} \alpha \geq h|[\varphi_\nu]|, \quad -h\sigma_\nu \geq |m_\nu| \quad \text{на } \Gamma_c, \\ \left( \sigma_\nu + \frac{1}{h} m_\nu \right) &([\mathbf{U}_\nu] + [u] \operatorname{tg} \alpha + h[\varphi_\nu]) = 0 \quad \text{на } \Gamma_c, \\ \left( \sigma_\nu - \frac{1}{h} m_\nu \right) &([\mathbf{U}_\nu] + [u] \operatorname{tg} \alpha - h[\varphi_\nu]) = 0 \quad \text{на } \Gamma_c. \end{aligned} \quad (18)$$

**ЗАМЕЧАНИЕ 1.** Справедливо также обратное утверждение: гладкая функция  $\xi \in K$ , удовлетворяющая уравнениям равновесия (6) и соотношениям (1), (1'), (18), является решением задачи (4). Это утверждение можно доказать с помощью рассуждений, аналогичных использованным в работе [9].

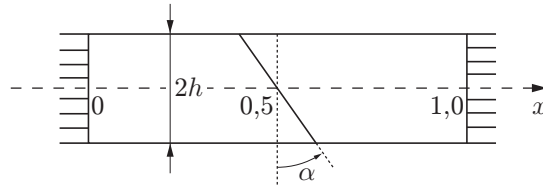


Рис. 2. Схема балки с наклонным разрезом

**3. Постановка задачи о балке.** Рассмотрим тонкую однородную балку единичной длины, имеющую толщину  $2h$ . Будем полагать, что сечение балки является прямоугольным. Пусть срединная линия балки представляет собой отрезок  $(0, 1)$  на оси  $x$ . В точке  $y = 1/2$  имеется наклонный разрез, проходящий под углом  $\alpha$  к вертикальной линии (рис. 2). Предполагается, что разрез не выходит на боковую границу, т. е.  $0 \leq \operatorname{tg} \alpha < (2h)^{-1}$ . Функции внешних нагрузок  $g(x)$ ,  $f(x)$ ,  $\mu(x)$  заданы и принадлежат пространству  $L^2(0, 1)$ . Обозначим через  $\boldsymbol{\eta} = (W, w, \psi)$  обобщенный вектор перемещений ( $W(x)$ ,  $w(x)$  — горизонтальные и вертикальные перемещения точек срединной линии балки соответственно;  $\psi(x)$  — углы поворота волокон, перпендикулярных срединной линии балки).

На внешней границе ставится условие жесткого защемления [14]

$$W = w = \psi = 0, \quad x = 0, 1.$$

Условие непроникания (3) преобразуется к виду

$$[W] + [w] \operatorname{tg} \alpha \geq h|\psi|,$$

где  $[s] = s(y + 0) - s(y - 0)$  — скачок функции  $s$  в точке  $y$ .

В случае балки выражение для функционала потенциальной энергии принимает вид [14]

$$\Pi_b(\boldsymbol{\eta}) = \frac{1}{2} \int_0^1 (ES(W_x)^2 + EI(\psi_x)^2 + GkS(w_x + \psi)^2) dx - \int_0^1 (gW + fw + \mu\psi) dx,$$

где  $S$  — площадь сечения;  $I$  — момент инерции (для прямоугольного сечения  $I = Sh^2/3$ );  $E$  и  $G$  — модули упругости;  $k$  — коэффициент сдвига.

Обозначим  $\Omega_y = (0, y) \cup (y, 1)$ . Введем гильбертово пространство

$$H(\Omega_y) = \{(W, w, \psi) \in H^1(\Omega_y)^3: W = w = \psi = 0, x = 0, 1\}$$

и замкнутое выпуклое множество  $K_b = \{\boldsymbol{\eta} = (W, w, \psi) \in H(\Omega_y): [W] + [w] \operatorname{tg} \alpha \geq h|\psi|\}$ .

Задача о равновесии балки с наклонным разрезом формулируется в виде минимизации функционала энергии

$$\inf_{\boldsymbol{\eta} \in K_b} \Pi_b(\boldsymbol{\eta}).$$

С помощью неравенства Фридрикса можно доказать, что функционал  $\Pi_b(\boldsymbol{\eta})$  является коэрцитивным в пространстве  $H(\Omega_y)$ . Кроме того, нетрудно установить, что функционал  $\Pi_b(\boldsymbol{\eta})$  является дифференцируемым, выпуклым и слабополунепрерывным снизу в пространстве  $H(\Omega_y)$ . Указанные свойства функционала  $\Pi_b(\boldsymbol{\eta})$  и множества  $K_b$  гарантируют существование и единственность решения  $\boldsymbol{\xi} = (U, u, \varphi) \in K_b$ , удовлетворяющего вариационному неравенству

$$\int_{\Omega_y} (ESU_x(W_x - U_x) + EI\varphi_x(\psi_x - \varphi_x) + GkS(u_x + \varphi)(w_x + \psi - u_x - \varphi) - \\ - g(W - U) - f(w - u) - \mu(\psi - \varphi)) dx \geq 0 \quad \forall \boldsymbol{\eta} = (W, w, \psi) \in K_b. \quad (19)$$

Свойства пространства  $H(\Omega_y)$  позволяют установить с помощью формул интегрирования по частям эквивалентность задачи (19) следующей краевой задаче:

$$-ESU_{xx} = g, \quad EI\varphi_{xx} - GkS(u_x + \varphi) = \mu, \quad -GkS(u_{xx} + \varphi_x) = f \quad \text{в } \Omega_y; \quad (20)$$

$$[U_x] = [\varphi_x] = [u_x + \varphi] = 0, \quad ESU_x(y) \operatorname{tg} \alpha = GkS(u_x + \varphi)(y); \quad (21)$$

$$[U] + [u] \operatorname{tg} \alpha \geq h|[\varphi]|, \quad -U_x(y) \geq h|\varphi_x(y)|/3, \\ (U_x(y) + h\varphi_x(y)/3)([U] + [u] \operatorname{tg} \alpha + h[\varphi]) = 0, \quad (22)$$

$$(U_x(y) - h\varphi_x(y)/3)([U] + [u] \operatorname{tg} \alpha - h[\varphi]) = 0;$$

$$U(0) = u(0) = \varphi(0) = U(1) = u(1) = \varphi(1) = 0. \quad (23)$$

Заметим, что для задачи о балке эквивалентность двух формулировок доказывается без дополнительных предположений относительно гладкости решения  $\boldsymbol{\xi}$ .

**4. Построение решения задачи о балке.** С использованием метода, предложенного в работе [8] при получении аналитического решения для балки Бернулли — Эйлера, содержащей наклонный разрез, построим решение задачи (20)–(23). В силу эквивалентности постановок задач оно является также решением задачи (19). Решение будем искать в виде суммы  $\boldsymbol{\xi} = \boldsymbol{\xi}^0 + \boldsymbol{\xi}^1$ , где  $\boldsymbol{\xi}^0 = (U^0, u^0, \varphi^0)$  — решение неоднородной задачи с нулевыми краевыми условиями

$$-U_{xx}^0 = \hat{g}, \quad l\varphi_{xx}^0 - (u_x^0 + \varphi^0) = \hat{\mu}, \quad -(u_{xx}^0 + \varphi_x^0) = \hat{f} \quad \text{в } \Omega_y, \\ U_x^0(y) = \varphi_x^0(y) = (u_x^0 + \varphi^0)(y) = 0, \quad \boldsymbol{\xi}^0(0) = \boldsymbol{\xi}^0(1) = (0, 0, 0), \quad (24)$$

$\hat{g} = g/(ES)$ ;  $l = EI/(GkS)$ ;  $\hat{\mu} = \mu/(GkS)$ ;  $\hat{f} = f/(GkS)$ . Решение этой задачи  $\boldsymbol{\xi}^0 \in H^2(\Omega_y)^3 \cap H$  существует и единственно, поскольку фактически решаются две независимые задачи в областях  $(0, y)$  и  $(y, 1)$ :

$$-U_{xx}^0 = \hat{g}, \quad l\varphi_{xx}^0 - (u_x^0 + \varphi^0) = \hat{\mu}, \quad -(u_{xx}^0 + \varphi_x^0) = \hat{f} \quad \text{в } (0, y), \\ U^0(0) = u^0(0) = \varphi^0(0) = 0, \quad U_x^0(y) = \varphi_x^0(y) = (u_x^0 + \varphi^0)(y) = 0, \\ -U_{xx}^0 = \hat{g}, \quad l\varphi_{xx}^0 - (u_x^0 + \varphi^0) = \hat{\mu}, \quad -(u_{xx}^0 + \varphi_x^0) = \hat{f} \quad \text{в } (y, 1), \\ U^0(1) = u^0(1) = \varphi^0(1) = 0, \quad U_x^0(y) = \varphi_x^0(y) = (u_x^0 + \varphi^0)(y) = 0.$$

Заметим, что  $\boldsymbol{\xi}^0$  есть решение задачи о балке с разрезом, на котором не ставятся условия непроникания, а края предполагаются свободными.

Введем следующие константы:  $\delta = 12h^2$ ,  $\lambda = 4h^2 + (1 + 12l) \operatorname{tg}^2 \alpha$ . Решив задачу (24), можно вычислить значения

$$\rho^\pm = [U^0] + [u^0] \operatorname{tg} \alpha \pm h[\varphi^0], \quad r^\pm = [U^0] + [u^0] \operatorname{tg} \alpha \pm (h\lambda/\delta)[\varphi^0].$$

Рассмотрим вспомогательные функции

$$\theta(x) = \begin{cases} x^2, & x \in (0, y), \\ (x-1)^2, & x \in (y, 1), \end{cases} \quad \theta_x(x) = \begin{cases} 2x, & x \in (0, y), \\ 2(x-1), & x \in (y, 1), \end{cases} \\ \beta(x) = \begin{cases} 2x^3 - 3x^2, & x \in (0, y), \\ 2x^3 - 3x^2 + 1, & x \in (y, 1). \end{cases}$$

Заметим, что функции  $\theta$ ,  $\theta_x$ ,  $\beta$ ,  $\beta_x$  принадлежат пространству  $C^\infty(\Omega_y)$  и при  $x = 0$ ,  $x = 1$  равны нулю. Кроме того, справедливы следующие соотношения:

$$\begin{aligned} \theta_{xx}(x) \equiv 2, \quad \theta_{xxx}(x) \equiv 0, \quad [\theta] = 0, \quad [\theta_x] = -2, \quad \beta_x(x) = 6(x^2 - x), \quad [\beta_x] = 0, \\ \beta_{xx}(x) = 6(2x - 1), \quad \beta_{xxx}(x) \equiv 12, \quad \beta_{xxxx}(x) \equiv 0, \quad [\beta] = 1, \quad \beta_{xx}(y) = 0. \end{aligned}$$

**Теорема 2.** Функция  $\xi = (U, u, \varphi)$ , определенная равенствами  $U(x) = U^0(x) + 2h^2 A \theta_x(x)$ ,  $\varphi(x) = \varphi^0(x) + 6hB \theta_x(x) + \operatorname{tg} \alpha A \beta_x(x)$ ,  $u(x) = u^0(x) - 6hB \theta(x) - \operatorname{tg} \alpha A \beta(x) + 6l \operatorname{tg} \alpha A \theta_x(x)$ , является решением вариационного неравенства (19), где

$$(A, B) = \begin{cases} (0, 0), & \rho^+ \geq 0, \quad \rho^- \geq 0, \\ (\delta + \lambda)^{-1}(\rho^+, \rho^+), & \rho^+ < 0, \quad r^- \geq 0, \\ (\delta + \lambda)^{-1}(\rho^-, -\rho^-), & \rho^- < 0, \quad r^+ \geq 0, \\ ((2\lambda)^{-1}(\rho^+ + \rho^-), (2\delta)^{-1}(\rho^+ - \rho^-)), & r^+ < 0, \quad r^- < 0. \end{cases} \quad (25)$$

**Доказательство.** Достаточно проверить выполнение соотношений (20)–(23). Действительно, в силу свойств функций  $\theta$ ,  $\beta$ ,  $\xi^0$  имеем

$$-U_{xx} = -U_{xx}^0 - 2h^2 A \theta_{xxx} = \hat{g} \quad \text{в } \Omega_y.$$

Так как имеют место равенства

$$\begin{aligned} \varphi_{xx}(x) &= \varphi_{xx}^0(x) + 6hB \theta_{xxx}(x) + A \operatorname{tg} \alpha \beta_{xxx}(x) = \varphi_{xx}^0(x) + 12A \operatorname{tg} \alpha; \\ u_x + \varphi &= u_x^0 + \varphi^0 + 6lA \operatorname{tg} \alpha \theta_{xx}(x) = u_x^0 + \varphi^0 + 12lA \operatorname{tg} \alpha, \end{aligned} \quad (26)$$

то выполнено также второе уравнение в (20). В силу равенства (26) имеем  $u_{xx} + \varphi_x = u_{xx}^0 + \varphi_x^0$ , откуда следует последнее уравнение в (20). Вычислим следующие значения построенных функций:

$$\begin{aligned} U_x(y) &= U_x^0(y) + 2h^2 A \theta_{xx}(y) = 4h^2 A, \\ \varphi_x(y) &= \varphi_x^0(y) + 6hB \theta_{xx}(y) + A \operatorname{tg} \alpha \beta_{xx}(y) = 12hB, \\ (u_x + \varphi)(y) &= (u_x^0 + \varphi^0)(y) + 6lA \operatorname{tg} \alpha \theta_{xx}(y) = 12lA \operatorname{tg} \alpha. \end{aligned} \quad (27)$$

Очевидно, что  $[U_x] = [\varphi_x] = [u_x + \varphi] = 0$ . Из (27) следует

$$U_x(y) \pm (h/3)\varphi_x(y) = 4h^2(A \pm B), \quad ES U_x(y) \operatorname{tg} \alpha = GkS(u_x + \varphi)(y).$$

По построению  $[U] = [U^0] - 4h^2 A$ ,  $[u] = [u^0] - (1 + 12l)A \operatorname{tg} \alpha$ ,  $[\varphi] = [\varphi^0] - 12hB$ . Следовательно,

$$[U] + [u] \operatorname{tg} \alpha \pm h[\varphi] = \rho^\pm - \lambda A \mp \delta B.$$

Таким образом, осталось проверить соотношения (22), которые принимают вид

$$\begin{aligned} \rho^+ \geq \lambda A + \delta B, \quad \rho^- \geq \lambda A - \delta B, \quad -A \geq |B|, \\ (A + B)(\rho^+ - \lambda A - \delta B) = 0, \quad (A - B)(\rho^- - \lambda A + \delta B) = 0. \end{aligned}$$

Рассматривая следующие четыре возможных варианта:

- 1)  $A + B = 0, \quad A - B = 0, \quad \rho^+ - \lambda A - \delta B \geq 0, \quad \rho^- - \lambda A + \delta B \geq 0;$
- 2)  $A + B < 0, \quad A - B = 0, \quad \rho^+ - \lambda A - \delta B = 0, \quad \rho^- - \lambda A + \delta B \geq 0;$
- 3)  $A + B = 0, \quad A - B < 0, \quad \rho^+ - \lambda A - \delta B \geq 0, \quad \rho^- - \lambda A + \delta B = 0;$
- 4)  $A + B < 0, \quad A - B < 0, \quad \rho^+ - \lambda A - \delta B = 0, \quad \rho^- - \lambda A + \delta B = 0,$

находим подходящие значения  $A$  и  $B$ . Заметим, что функция  $\xi^0 = (U^0, u^0, \varphi^0)$  однозначно определяет величины  $\rho^+$ ,  $\rho^-$ ,  $r^+$ ,  $r^-$  и значения пары чисел  $(A, B)$ . Теорема доказана.

**ЗАМЕЧАНИЕ 2.** Нетрудно показать, что в силу отмеченной гладкости функций  $\xi^0, \theta, \beta$  решение  $\xi$  принадлежит пространству  $H^2(\Omega_y)^3 \cap H(\Omega_y)$ .

**ЗАМЕЧАНИЕ 3.** Решив задачу (20)–(23), можно вычислить остальные физические характеристики задачи. При этом функции для напряжений, моментов и поперечных сил:

$$\begin{aligned}\sigma(x) &= ES U_x(x) = ES(U_x^0(x) + 4h^2 A), \\ m(x) &= EI \varphi_x(x) = EI(\varphi_x^0(x) + 12hB + 6A(2x - 1) \operatorname{tg} \alpha), \\ q(x) &= GkS(u_x + \varphi)(x) = GkS(u_x^0 + \varphi^0)(x) + 12EI A \operatorname{tg} \alpha\end{aligned}$$

являются непрерывными в области  $(0, 1)$ .

Рассмотрим частные случаи, следующие из теоремы 2. Пусть  $\alpha = 0$ , т. е. имеет место вертикальный разрез. С использованием прежнего обозначения для решения  $\xi^0 = (U^0, u^0, \varphi^0)$  вспомогательной задачи (24) при  $\alpha = 0$  соответствующая краевая задача (20)–(23) принимает вид

$$\begin{aligned}-ES U_{xx} &= g, & EI \varphi_{xx} - GkS(u_x + \varphi) &= \mu, & -GkS(u_{xx} + \varphi_x) &= f & \text{ в } \Omega_y, \\ [U_x] &= [\varphi_x] = 0, & (u_x + \varphi)(y) &= 0, & [U] &\geq h|[\varphi]|, & -U_x(y) &\geq h|\varphi_x(y)|/3, \\ (U_x(y) + h\varphi_x(y)/3)([U] + h[\varphi]) &= 0, & (U_x(y) - h\varphi_x(y)/3)([U] - h[\varphi]) &= 0, \\ U(0) &= u(0) = \varphi(0) = U(1) = u(1) = \varphi(1) = 0.\end{aligned}\tag{28}$$

В частном случае для  $\rho^\pm$  и  $r^\pm$  имеем равенства  $\rho^\pm = [U^0] \pm h[\varphi^0]$ ,  $r^\pm = [U^0] \pm h[\varphi^0]/3$ . Из теоремы 2 вытекает

**Следствие 1.** Функция  $\xi = (U, u, \varphi)$ , где  $U(x) = U^0(x) + (A/2)\theta_x(x)$ ;  $\varphi(x) = \varphi^0(x) + 3B\theta_x(x)/(2h)$ ;  $u(x) = u^0(x) - 3B\theta(x)/(2h)$ , является решением задачи (28). Постоянные  $A$  и  $B$  находятся по соотношениям

$$(A, B) = \begin{cases} (0, 0), & \rho^+ \geq 0, \quad \rho^- \geq 0, \\ (\rho^+, \rho^+)/4, & \rho^+ < 0, \quad r^- \geq 0, \\ (\rho^-, -\rho^-)/4, & \rho^- < 0, \quad r^+ \geq 0, \\ ((\rho^+ + \rho^-)/2, (\rho^+ - \rho^-)/6), & r^+ < 0, \quad r^- < 0. \end{cases}$$

Пусть вертикальные нагрузки и моменты отсутствуют, т. е.  $f(x) \equiv 0$ ,  $\mu(x) \equiv 0$ . Тогда  $u^0(x) \equiv \varphi^0(x) \equiv 0$ . Следовательно,  $\rho^+ = \rho^- = r^+ = r^- = [U^0]$ ,  $B = 0$ , и справедливо

**Следствие 2.** Пусть  $f \equiv \mu \equiv 0$ . Тогда при  $[U^0] \geq 0$  решение  $\xi^0 = (U^0, u^0, \varphi^0)$  задачи (24) является также решением (19), т. е.  $\xi = \xi^0$ ; при  $[U^0] \leq 0$  решение  $\xi = (U, u, \varphi)$  находится по формулам  $U(x) = U^0(x) + \lambda^{-1} 2h^2 [U^0] \theta_x(x)$ ,  $\varphi(x) = \lambda^{-1} \operatorname{tg} \alpha [U^0] \beta_x(x)$ ,  $u(x) = -\lambda^{-1} (\operatorname{tg} \alpha [U^0] \beta(x) - 6l \operatorname{tg} \alpha [U^0] \theta_x(x))$ .

Таким образом, наличие только горизонтальных нагрузок  $g$  не обуславливает равенство нулю значений  $\varphi$  и  $u$ . При  $\alpha = 0$  из равенств  $f \equiv 0$ ,  $\mu \equiv 0$  следует, что  $\varphi \equiv u \equiv 0$ .

Рассмотрим следующий пример. Пусть  $f(x) \equiv \mu(x) \equiv 0$  и

$$g(x) = \begin{cases} c, & x \in (0, 1/2), \\ -c, & x \in (1/2, 1). \end{cases}$$

При этом значения  $c \geq 0$  соответствуют сжатию. Функцию  $U^0 = x(1-x)g(x)/(2ES)$  можно записать в явном виде. Скачок этой функции  $[U^0] = -c/(4ES) \leq 0$  неположителен. Согласно следствию 2 находим решение вариационного неравенства (19) в виде  $\xi = (U, u, \varphi)$ , где

$$U(x) = \frac{c}{2ES} \begin{cases} -x^2 + (1 - \delta/(6\lambda))x, & x \in (0, 1/2), \\ x^2 - (1 + \delta/(6\lambda))x + \delta/(6\lambda), & x \in (1/2, 1), \end{cases}$$

$$\varphi(x) = -\frac{c \operatorname{tg} \alpha}{4ES\lambda} 6(x^2 - x), \quad x \in (0, 1),$$

$$u(x) = \frac{c \operatorname{tg} \alpha}{4ES\lambda} \begin{cases} 2x^3 - 3x^2 - 12lx, & x \in (0, 1/2), \\ 2x^3 - 3x^2 + 1 - 12l(x - 1), & x \in (1/2, 1). \end{cases}$$

При этом  $[u] = c(12l + 1) \operatorname{tg} \alpha / (4Eh\lambda)^{-1}$ . В случае растяжения ( $c < 0$ ) получаем  $[U^0] > 0$ . Тогда согласно следствию 2  $U(x) = U^0(x)$  и  $u(x) \equiv \varphi(x) \equiv 0$ .

Таким образом, в работе продолжены исследования пластин и балок с наклонными трещинами. Ранее эти исследования были проведены для моделей пластин Кирхгофа — Лява и балок Бернулли — Эйлера [7, 8]. В настоящей работе рассмотрены пластины и балки Тимошенко, содержащие наклонные трещины. Получены соотношения, описывающие контакт противоположных берегов трещины. При условии достаточной гладкости решения задачи минимизации в исходной вариационной постановке сформулирована эквивалентная постановка в виде краевой задачи. Для одномерного случая (балка с разрезом) получено аналитическое решение и исследованы его свойства.

#### ЛИТЕРАТУРА

1. **Амбарцумян С. А.** Теория анизотропных оболочек. М.: Наука, 1987.
2. **Панасюк В. В.** Распределение напряжений около трещин в пластинах и оболочках / В. В. Панасюк, М. П. Саврук, А. П. Дацышин. Киев: Наук. думка, 1976.
3. **Осадчук В. А.** Напряженно-деформированное состояние и предельное равновесие оболочек с разрезами. Киев: Наук. думка, 1985.
4. **Морозов Н. Ф.** Математические вопросы теории трещин. М.: Наука, 1984.
5. **Шацкий И. П., Маковийчук Н. В.** Влияние закрытия коллинеарных трещин на напряженно-деформированное состояние и предельное равновесие изгибаемых пологих оболочек // ПМТФ. 2011. Т. 52, № 3. С. 159–166.
6. **Хлуднев А. М.** Задачи теории упругости в негладких областях. М.: Физматлит, 2010.
7. **Хлуднев А. М.** Задача о равновесии упругой пластины, содержащей наклонную трещину // ПМТФ. 1997. Т. 38, № 5. С. 117–121.
8. **Ковтуненко В. А., Леонтьев А. Н., Хлуднев А. М.** Задача о равновесии пластины с наклонным разрезом // ПМТФ. 1998. Т. 39, № 2. С. 164–174.
9. **Лазарев Н. П.** Задача о равновесии пологой оболочки Тимошенко, содержащей сквозную трещину // Сиб. журн. индустр. математики. 2012. Т. 15, № 3. С. 58–69.
10. **Лазарев Н. П.** Итерационный метод штрафа для нелинейной задачи о равновесии пластины Тимошенко, содержащей трещину // Сиб. журн. вычисл. математики. 2011. Т. 14, № 4. С. 381–392.
11. **Рудой Е. М.** Инвариантные интегралы в плоской задаче теории упругости для тел с жесткими включениями и трещинами // Сиб. журн. индустр. математики. 2012. Т. 15, № 1. С. 99–109.
12. **Khлudnev A., Leugering G., Specovius-Neugebauer M.** Optimal control of inclusion and crack shapes in elastic bodies // J. Optim. Theory Appl. 2012. V. 155, N 1. P. 54–78.
13. **Пелех Б. Л.** Теория оболочек с конечной сдвиговой жесткостью. Киев: Наук. думка, 1973.
14. **Васидзу К.** Вариационные методы в теории упругости и пластичности. М.: Мир, 1987.

*Поступила в редакцию 8/II 2013 г.*